## Доклады Академии наук СССР 1973. Том 211, № 4

УДК 549.643.25: 552.121: 553.21

**МИНЕРАЛОГИЯ** 

## С. А. ЩЕКА, Ж. А. ЩЕКА

## НОВАЯ НАХОДКА ХРОМИСТОГО АМФИБОЛА

(Представлено академиком Д. С. Коржинским 15 V 1972)

Все находки хромистых (более 1 вес. %  $\rm Cr_2O_3$ ) амфиболов ( $^{1-4}$ ) относятся к хромитовым рудам, метаморфизованным или в условиях гранулитовой фации (4), или при образовании своеобразных близповерхностных гипербазитовых скарнов с уваровитом ( $^{1-3}$ ), т. е. при различных температурах.

Авторами хромистый амфибол обнаружен в гипербазитовых «включениях» в эффузивах вулкана Авачи. Ранее (5) было показано, что эти включения являются обломками залегающих па глубине серпентинизированных гипербазитовых интрузивов, испытавшими перекристаллиза-

цию в андезито-базальтовой магме.

Среди ксенолитов преобладают диопсидовые гарцбургиты и лерцолиты (70-80%), дуниты, верлиты, оливиновые клинопироксениты (10-15%), амфиболовые габбро и долериты (около 5%), единичны тра-

хитоидные габбро-нориты и анортит-магнетитовые анортозиты.

По петрографическим особенностям лерцолиты ксенолитов неотличимы от интрузивных аналогов: в оливиновом агрегате зерна и гнезда хромшпинели окружены энстатитом и диопсидом. В редких случаях по межзерновым промежуткам развивается буроватый паргасит. В отличие от подобных интрузивных пород в ксенолитах среднезернистый оливиновый агрегат иногда включает участки и прожилки тонкозернистого более магнезиального (табл. 1) оливина, являвшиеся, видимо, зонками серпентинизации.

Лерцолиты в обломках часто пересечены прожилками пироксенов-энстатита с хромитом, диопсида, иногда мощными (10—12 см) метасоматическими жилами пегматоидного энстатита с гнездами хромита, замещающимися в ядре или участками пегматоидным диопсидом. В одной из жил

обнаружен хромистый амфибол.

Железистость минералов как лерцолитов, так и жил пироксенитов близка (табл. 1): оливин 9—10, энстатит 8,8—10, диопсид 7,2—9,2, хромит 40,5—41,9. Несколько пониженная железистость и повышенная хромистость пироксенов и хромита отличает породу с хромистым амфиболом (табл. 2), хотя содержание хрома в пироксенах в этом случае ниже.

Ксенолит с хромистым амфиболом является фрагментом жилы пегматоидного (размер зерен до 16 мм) энстатита с гнездами хромита (2—6 мм) и диопсида (до 10 мм). Диопсид развивается по гиперстену и хромиту, амфибол выполняет интерстиции в ппроксенах, частично замещая все три минерала. В межзерновых промежутках выделяется бурое стекло с рудной пылью, по составу (N-1555) отвечающее вмещающему андезито-базальту.

Зерна амфибола ксеноморфны к пироксенам и невелики по размерам (0,2-5 мм). Они обладают своеобразным плеохроизмом  $(N_g$  травяно-зеленый,  $N_m$ — светлый травяно-зеленый,  $N_p$ — бледно-зеленый), отличающим их от титанисто-железистых разновидностей. По оптическим свойствам (рис. 1) изученный амфибол, как и другие (1-4) хромистые разновидности, специфичен. Несмотря на высокую магнезиальность, все хромистые амфиболы имеют повышенный показатель преломления, и лишь с ростом железистости, когда снижается хромистость (как будет показано ниже), они сближаются с паргаситами. Следовательно, расхождение кривых на графике  $f_{\text{общ}} - N_g$  в магнезиальном конце определяется содержанием хрома,

Состав и оптические свойства минералов ксеполита лерцолита

|   | Оливин  |   | Энстантит  |  | Диопсид  |  | Хромит   |   |
|---|---|---|--|--|--|--|--|---|
|   | вес. %  | колич.<br>катионов<br>на 40                                 | вес. %   | колич.<br>катионов<br>на 30  | Bec. %   | колич.<br>катионов<br>на 60  | вес. %   | колич.<br>катионов<br>на 40                                 |
| $\begin{array}{c} {\rm SiO_2} \\ {\rm JiO_2} \\ {\rm Al_2O_3} \\ {\rm Cr_2O_3} \\ {\rm Fe_2O_3} \\ {\rm FeO} \\ {\rm MnO} \\ {\rm MgO} \\ {\rm CaO} \\ {\rm Na_2O} \\ {\rm K_2O} \\ {\rm H_2O^+} \end{array}$ | 40,80<br>0,03<br>0,70<br>He onp.<br>0,25<br>8,00<br>0,20<br>49,20<br>0,20<br>0,10<br>0,09<br>0,35 | 0,998<br>0,021<br>0,004<br>0,163<br>0,004<br>1,794<br>0,006 | 54,08<br>C.H.<br>1,65<br>0,50<br>0,57<br>5,52<br>0,09<br>35,00<br>1,76<br>0,20<br>0,04 | 0,941<br>0,044<br>0,007<br>0,007<br>0,081<br>0,001<br>0,913<br>0,033<br>0,033<br>0,006 | 51,32<br>Сл.<br>2,10<br>0,88<br>0,07<br>2,76<br>0,05<br>20,55<br>20,70<br>0,25<br>0,02<br>0,80 | 1,847<br>0,148<br>0,027<br>0,002<br>0,086<br>1,128<br>0,818<br>0,018 | Сл.<br>0,08<br>20,88<br>46,00<br>5,08<br>13,08<br>0,09<br>14,68<br>Сл.<br>Не опр.<br>» » | 0,002<br>0,756<br>1,417<br>0,118<br>0,336<br>0,002<br>0,672 |
| Σ   | 99,77   |   | 99,41  |  | 99,50  |  | 99,89  |   |
| $f_{00\text{MM}}$ , ат, % $\phi$ , ат. % $N_g$ $N_p$ $2V$ , град. $CN_g$ , град.  | 8,5<br>   |   | 8,8<br>13,7<br>1,676<br>1,664<br>84<br>0   |  | 7,2<br>15,4<br>1,697<br>1,669<br>58<br>42  |  | 40,4<br>59,7   |   |

Примечание. Обр. № 0—1091/8. Крупные золотистые зерна оливина имеют более высокие значения оптических констант, чем мелкие белые. Состав породы (об. %): оливин 83,9, энстатит 10,4, диопсид 5,1, хромит 0,6, паргасит ( $N_g=1,659,\ N_p=1,635,\ 2V=85^\circ,\ CN_g=22^\circ)$ —ед. зерна. Здесь и далее:  $f_{\rm oбщ}={\rm Fe/(Fe+Mg)},\ \varphi={\rm Cr(Cr+Al)}.$  Аналитик Ж. А. Щека.

заметно повышающего  $N_s$ . Угол 2 V испытывает тенденцию к снижению в положительную сторону, хотя это может быть вызвано не только ростом железистости, но и увеличением доли  $Al^{1v}$ .

Рассчитанные по порошкограмме параметры элементарной ячейки составляют: a=9,88, b=18,14, c=5,33Å,  $\beta=73^{\circ}50'$ . И.-к. спектр поглощения хромистого амфибола (UR-20, таблетка с KBr 1:300, поправки по кривым полистирола, толуола, пиридина) по набору частот максимумов полос поглощения (405: 467; 510; 546; 647; 666; 695; 756; 959; 995; 1060;

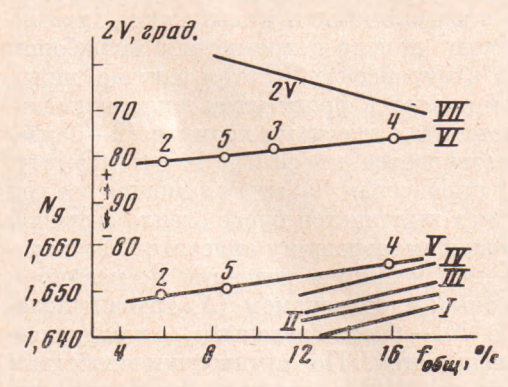


Рис. 1. График зависимости оптических свойств амфиболов от железистости. I-5 — разные образны: I — из ( $^1$ ), 2 — из ( $^2$ ), 3 — из ( $^3$ ), 4 — из ( $^4$ ), 5 — обр. № III—801 Г/2. I-V — разные группы амфиболов: I — из гранулитов по ( $^6$ ), II — из гранитов по ( $^8$ ), III — все роговые обманки, IV — паргаситы по ( $^7$ ), V — хромистые амфиболы и обыкновенные роговые обманки по В. Е. Трёгеру. VI-VII — хромистые амфиболы (VI) п паргаситы (VII)

1101;  $3660 \text{ см}^{-1}$ ) подобен спектру актинолита, отличаясь от последнего более высокой интенсивностью поглощения в области  $460-510 \text{ см}^{-1}$ , чем в области  $900-1100 \text{ см}^{-1}$ . Возможно, это вызвано хромом, поскольку поглощение в области  $460-510 \text{ см}^{-1}$  объясняет ( $^9$ ) связью Me-O, в области  $900-1100 \text{ см}^{-1}$  — связью Si(Al)—O.

|   | Энстатит  |                             | Диопсид   |  | Xpor  | MUT  | Амфибол   |   |  |  |  |
|---|---|-----------------------------|---|--|---|--|---|---|--|--|--|
|   | вес. %  | колич.<br>катионов<br>на 30 | вес. %  | колич.<br>катио-<br>нов<br>на 60                                     | вес. %  | колич.<br>катионов<br>на 40                    | вес. %  | колич.<br>катионов<br>на 240  |  |  |  |
| SiO <sub>2</sub> TiO <sub>2</sub> Al <sub>2</sub> O <sub>3</sub> Cr <sub>2</sub> O <sub>3</sub> Fe <sub>2</sub> O <sub>3</sub> Fe <sub>2</sub> O MnO NiO MgO CaO Na <sub>2</sub> O K <sub>2</sub> O H <sub>2</sub> O <sup>+</sup> H <sub>2</sub> O <sup>-</sup> F | 57,15<br>0,03<br>1,54<br>0,42<br>0,05<br>5,10<br>0,13<br>He onp.<br>34,33<br>0,21<br>0,17<br>0,05<br>He onp.<br>0,40<br>He onp. | 0,988<br>0,032<br>0,006<br> | 54,17<br>Cл.<br>1,69<br>0,72<br>0,26<br>2,08<br>0,02<br>He onp.<br>20,91<br>19,67<br>0,30<br>0,03<br>He onp.<br>He onp. | 1,949<br>0,073<br>0,022<br>0,006<br>0,063<br>1,420<br>0,759<br>0,022 | Сл. 10,76 58,56 18,66 0,02 He опр. 13,75 Сл. He опр.  " " " " " " He опр. | 0,410<br>1,497<br>0,093<br>0,338<br>—<br>0,662 | 48,28<br>0,44<br>10,33<br>1,79<br>0,06<br>3,35<br>0,006<br>0,14<br>20,83<br>10,98<br>1,75<br>0,19<br>1,58<br>0,12 | 6,801<br>0,042<br>1,710<br>0,199<br>0,008<br>0,398<br>0,008<br>0,017<br>4,367<br>1,651<br>0,473<br>0,034<br>1,488 |  |  |  |
| Σ   | 99,59   |                             | 99,82   |  | 101,75<br>- 1,30Fe <sup>2+</sup><br>100,45                                |  | 99,85   |   |  |  |  |
| $f_{06\text{щ}}$ , ат. % $\phi$ , ат. % $N_g$ $N_p$ $2V$ , град. $CN_g$ , град.   | 7,7<br>15,8<br>1,671<br>1,660<br>78   |                             | 5,8<br>21,8<br>4,698<br>4,670<br>59<br>38   |  | 39,5<br>78,4  |  | 8,5<br>10,4<br>1,651<br>1,629<br>±90<br>16—17   |   |  |  |  |

Примечание. Обр. № Щ-801Г/2. Состав хромита рассчитан по группировкам R²+R³+2O4. В амфиболе количественным спектральным методом определены (%): V 0,0117; Sn 4-6·10-4, Sc 3-5·10-3, Zn 0,02; Co<0,001, Pb<6·10-4. Аналитики Ж. А. Щека и Л. И. Азарова (спектр).

Особенностями химического состава изученного амфибола являются повышенная (0,44 вес. % TiO<sub>2</sub>) титанистость (и содержание ванадия) при высокой магнезиальности и хромистости и низкая степень окисления железа. Повышенные содержания характерны для изоморфных к магнию никеля и цинка, пониженные — марганца. Хром занимает около 25% октаэдрических позиций.

Выявляется ряд специфических особенностей состава хромистых амфиболов. Общая железистость колеблется от 5,8 до 15,9%, что приближает их к амфиболам в карбонатных скарнах. Доля кремнезема в тетраэдре составляет 6,4—6,9 форм. ед. Содержания хрома находятся в пределах 1,58—4,68 вес. %; он имеет октаэдрическую координацию, где составляет 15—62% и лишь при аномально высоких (4,68 вес. %) количествах входит в тетраэдр (16%). Все амфиболы характеризуются низким содержанием калия.

Из рис. 2 следует, что с возрастанием железистости падают хромистость, титанистость и доля тетраэдрического алюминия. Видимо, при железистости более 9% хром может входить лишь в состав высокоглиноземистых амфиболов. Рис. 3 показывает, что хром вытесняет алюминий в тетраэдрическое положение, чему, как известно ( $^6$ ), способствуют повышенные температуры; иными словами, хромистость амфиболов должна возрастать с ростом температуры и дефицита  $SiO_2$ . На этом же графике (рис. 3) показано, что замещение  $Si-Al^{1V}$  компенсируется изменениями в группе щелочей по схеме  $Si^{4+} \rightarrow Al^{3+} + (Na, K)^+$ ,  $2Si^{4+} \rightarrow 2Al^{3+} + Ca^{2+}$ , или, в общем

случае, росту хромистости благоприятствует повышение щелочности. Следует отметить, что бескальциевые хромистые амфиболы неизвестны. По термометрам Л. Л. Перчука, исследованный амфибол кристаллизовался при температурах 1100—1050°. За исключением хромистого паргасита из гранулитов Мадраса (4), все хромистые амфиболы характеризуются невысоким содержанием А1<sup>1V</sup> и всей октаэдрической группы, что, видимо, свидетельствует о небольших глубинах минералообразования. Низкая железистость исследованных амфиболов является индикатором повышения

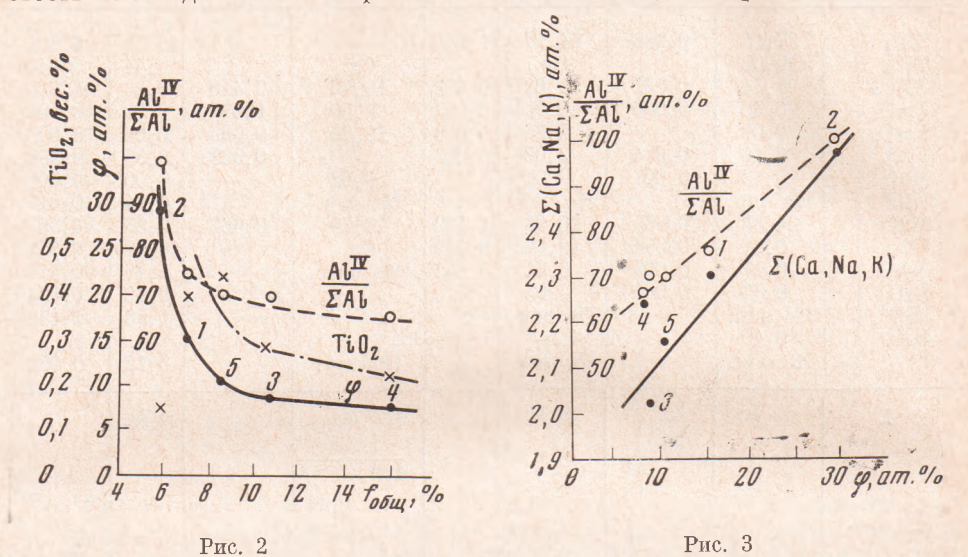


Рис. 2. График изменения составов хромистых амфиболов разной железистости. 1-5 — то же, что на рис. 1

Рис. 3. График изменения составов амфиболов разной хромистости. 1-5 — то же, что на рис. 1

потенциала кислорода, что также может быть связано с малой глубиной кристаллизации. А. Г. Бетехтин (10) отмечал, что уваровиты (с которыми чаще всего ассоциирует хромистый амфибол) образуются в миароловых пустотах в пегматитовую (флюидную) стадию. Высокая температура и небольшая глубина при кристаллизации амфибола в гипербазитовых ксенолитах Авачи позволяют предполагать, что он образовался в автометасоматическую стадию консолидации интрузива под влиянием флюида, сформировавшего диопсид-энстатитовые жилы.

Дальневосточный геологический институт Дальневосточного научного центра Академии наук СССР Владивосток Поступило 28 IV 1972

## цитированная литература

<sup>1</sup> Е. Нагвісь, Zs. Kristallogr. Tschermak's Mineral. Mitt., 40 (1930). <sup>2</sup> R. Nогіп, Geol. Fören. i. Stockholm. Forhand., 62, H. 1, 98 (1940). <sup>3</sup> В. П. Логинов, Н. В. Павлов, Г. А. Соколов, В сборн. Хромиты СССР, 2, Изд. АН СССР, 1940. <sup>4</sup> А. Р. Subrumanian, Bull. Geol. Soc. Ат., № 3 (1956). <sup>5</sup> С. А. Щека, В. Г. Сахно и др., В сборн. Вопр. геологии, геохимии и металлогении северо-западного сектора Тихоокеанского пояса, Владивосток, 1970. <sup>6</sup> Е. А. Костюк, Статистический анализ и парагенетические типы амфиболов метаморфических пород, «Наука», 1970. <sup>7</sup> У. А. Дир, Р. А. Хауи, Дж. Зусмаи, Породообразующие минералы, 2, 1968. <sup>8</sup> В. С. Соболев, Мин. сборн. Львовск. геол. общ., № 4 (1950). <sup>9</sup> А. И. Лазарев, Колебательные спектры и строение силикатов, «Наука», 1968. <sup>10</sup> А. Г. Бетехтин, В сборн. Академику Д. С. Беляпкину к 70-летию, Изд. АН СССР, 1946.